

Журнал издается одновременно на русском («Известия Академии наук. Серия химическая») и английском («Russian Chemical Bulletin») языках. Подробную информацию о журнале, содержания номеров журнала в графической форме и аннотации статей, а также годовые предметные и авторские указатели можно получить в Интернете по адресу: <http://russchembull.ru>

The Journal is published in Russian and English.

The International Edition is published under the title "Russian Chemical Bulletin" by Springer: 233 Spring St., New York, NY 10013, USA. Tel.: 212 460 1572. Fax: 212 647 1898.

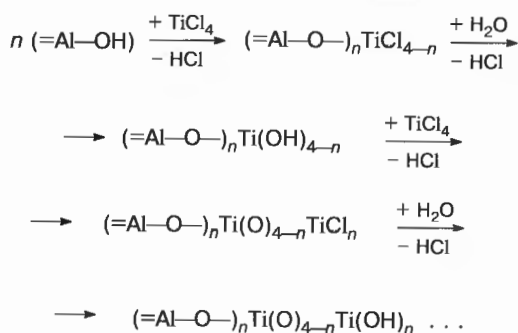
Detailed information concerning the journal, contents of issues with graphical and text abstracts, as well as annual subject and author indices can be found in the Internet at <http://russchembull.ru>

Содержание

Обзоры

Структурно-размерные эффекты и их применение в системах «ядро—нанооболочка», синтезированных методом молекулярного наслаивания

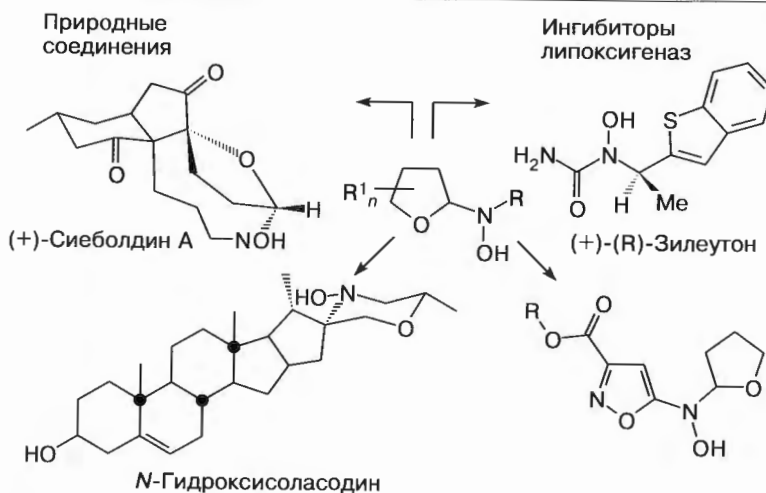
А. А. Малыгин, А. А. Малков,
Е. А. Соснов



Изв. АН. Сер. хим., 2017, № 11, 1939

Синтез и практическое применение N-[гидрокси(тетрагидрофурап-2-ил)]аминов

Д. А. Василенко, Е. Б. Аверина,
К. Н. Седенкова, Т. С. Кузнецова,
Н. С. Зефилов

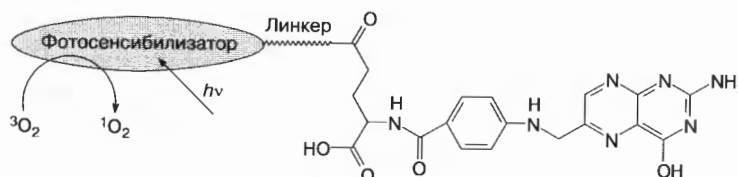


Изв. АН. Сер. хим., 2017, № 11, 1963

Фолиевая кислота и ее производные для таргетной фотодинамической терапии онкологических заболеваний

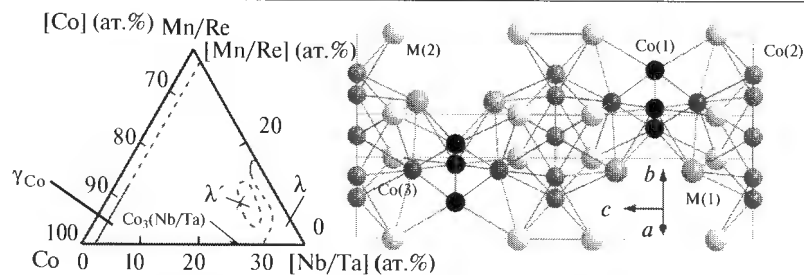
Н. В. Суворов, А. Ф. Миронов,
М. А. Грин

Изв. АН. Сер. хим., 2017, № 11, 1982



Полные статьи

Кристаллическая структура тройных фаз Лавеса в системах Co—Mn—Nb, Co—Mn—Ta, Co—Re—Nb и Co—Re—Ta

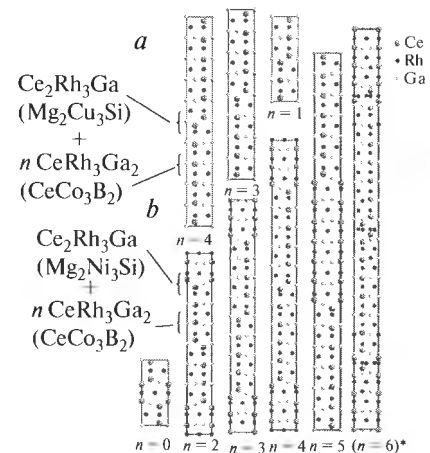


Ряды Лавеса в системах Co—M¹—M² (M¹ = Mn, Re; M² = Nb, Ta).

И. И. Федораев, М. И. Гусалова, Э. Ю. Керимов, В. В. Чернышев, Е. М. Слюсаренко

Изв. АН. Сер. хим., 2017, № 11, 2009

Тройные галлиды структурного семейства Ce_{2+n}Rh_{3+3n}Ga_{1+2n} (n = 0–5)

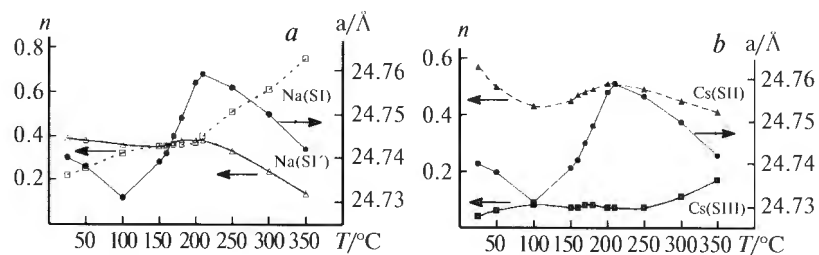


Новые тройные галлиды структурного семейства Ce_{2+n}Rh_{3+3n}Ga_{1+2n} (n = 0–6): гексагональная (a) и тригональная (b) ветви; в скобках указан тип структуры.
* Состав соединения Ce₈Rh₂₃Ga₁₁ не описывается общей формулой R_{2+n}T_{3+3n}M_{1+2n}.

В. А. Авзурагова, С. Н. Нестеренко, А. И. Турзина

Изв. АН. Сер. хим., 2017, № 11, 2015

Влияние дегидратации на положение катионов цезия в структуре CsNaFAU(Y) по данным порошковой дифракции и ЯМР при вращении образца под магическим углом



Значения параметра ячейки a и заселенностей (n) позиций катионов Na (a) и Cs (b) образца CsNaY/h в потоке азота при повышении температуры.

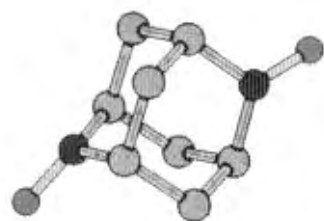
О. А. Пономарева, П. А. Коц, Ю. Г. Колягин, В. В. Чернышев, И. И. Иванова

Изв. АН. Сер. хим., 2017, № 11, 2021

Механизмы обменного взаимодействия в бирадикале 1,3,5,7-тетраметил-2,6-диазадимантан-N,N'-диоксиде

Н. Р. Хафизов, Т. И. Маджидов, О. Н. Кадкин, И. С. Антипин

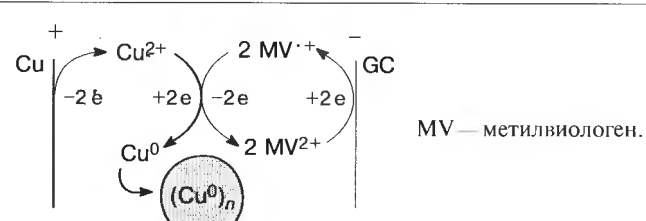
Изв. АН. Сер. хим., 2017, № 11, 2028



Медиаторный электрохимический синтез наночастиц меди в растворе

В. А. Кокорекин, А. В. Гамаюнова, В. В. Янилкин, В. А. Петросян

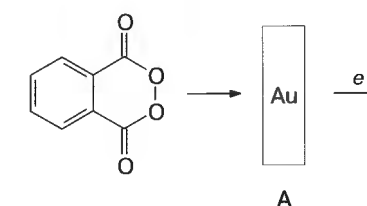
Изв. АН. Сер. хим., 2017, № 11, 2035



Электрохимическое поведение фталоилпероксида в водной среде

М. Д. Веденяпина, В. А. Виль, А. О. Терентьев, А. А. Веденяпин

Изв. АН. Сер. хим., 2017, № 11, 2044

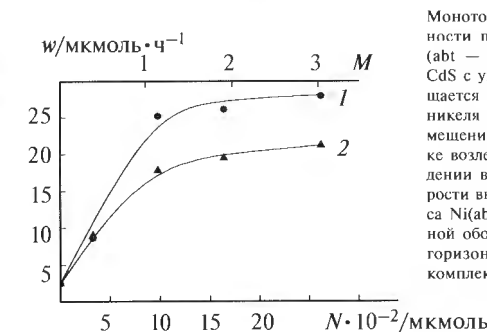


Образование поверхностного комплекса в Au^I
А — анод

Фотокаталитическая активность стабилизированных полимерной оболочкой нанокристаллов CdS, промотированных комплексами кобальта и никеля в реакции получения водорода из воды

Ю. А. Кабачий, С. Ю. Кочев, С. С. Абрамчук, А. С. Голубь, П. М. Валецкий, О. Ю. Антонова, Ю. Н. Бубнов, В. А. Надточенко

Изв. АН. Сер. хим., 2017, № 11, 2048

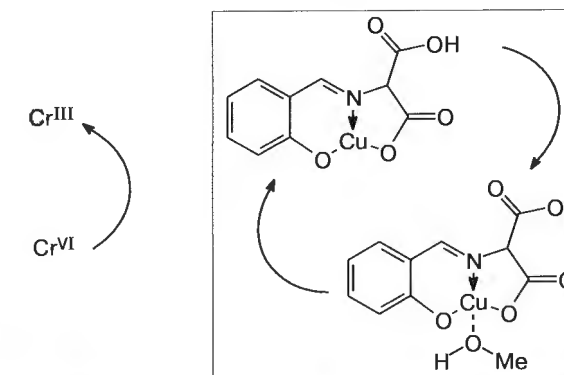


Монотонный рост фотокаталитической активности промотированных комплексом Ni(abt)₂ (abt — 2-аминобензотиолят) нанокристаллов CdS с увеличением содержания никеля прекращается при достижении соотношения ~1 моль никеля на 1 моль нанокристаллов как при размещении сокатализатора в полимерной оболочке возле нанокристаллов, так и при его нахождении в реакционной смеси. Зависимости скорости выделения H₂ (w) от количества комплекса Ni(abt)₂ (N), размещенного внутри полимерной оболочки (1) и в растворе (2). На верхней горизонтальной оси отложено число молекул комплекса в оболочке одного нанокристалла (M).

Влияние длины волны излучения на фотоиндуцированные реакции восстановления Cr⁶⁺ гибридными системами состава «комплекс Cu^{II} с основанием Шиффа + TiO₂»

Н. Йошида, А. А. Цатурян, Т. Акицу, Ю. Цунода, И. Н. Щербаков

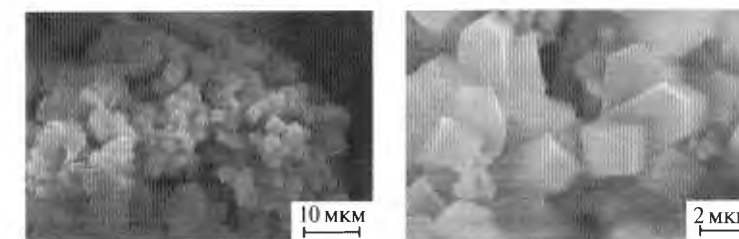
Изв. АН. Сер. хим., 2017, № 11, 2057



Селективное превращение метана в ароматические углеводороды на крупнокристаллических мезопористых катализаторах

С. А. Михайлов, Н. А. Мамонов, Л. М. Кустов, М. Н. Михайлов

Изв. АН. Сер. хим., 2017, № 11, 2066

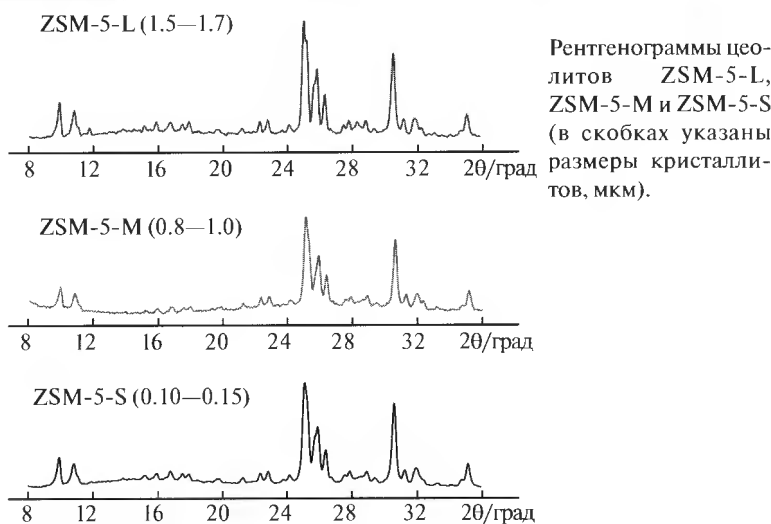


Микрофотографии образцов мезопористого цеолита ZSM-5, полученные методом сканирующей электронной микроскопии.

Регулирование свойств катализаторов ароматизации метана путем синтеза цеолита ZSM-5 с различными размерами кристаллитов

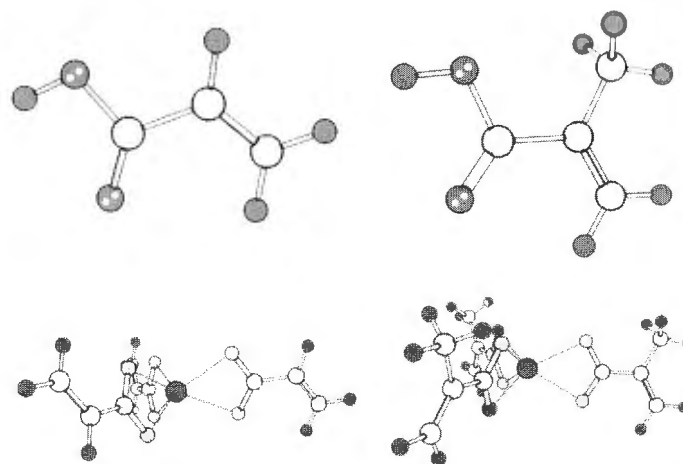
С. А. Михайлов, Н. А. Мамонов, Л. М. Кустов, М. Н. Михайлов^а

Изв. АН. Сер. хим., 2017, № 11, 2073



Рентгенограммы цеолитов ZSM-5-L, ZSM-5-M и ZSM-5-S (в скобках указаны размеры кристаллитов, мкм).

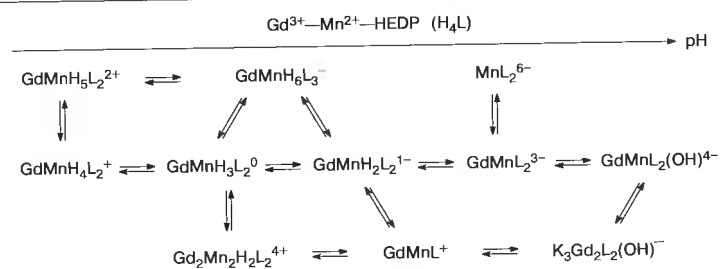
Исследование электронной структуры акрилата и метакрилата Eu^{III} методами рентгеновской фотоэлектронной спектроскопии и квантовой химии



В. В. Короченцев, Е. В. Михайленко, А. В. Шурыгин, В. И. Вовна, И. С. Осьмушко, А. Г. Мирочник, Н. В. Петроченкова

Изв. АН. Сер. хим., 2017, № 11, 2081

Гетероядерное комплексообразование в системе 1-гидроксиэтилендифосфоновая кислота—марганец(II)—гадолиний(III) в водном растворе



Ф. В. Девятков, О. В. Богатырев, Г. И. Зарипова

Изв. АН. Сер. хим., 2017, № 11, 2090

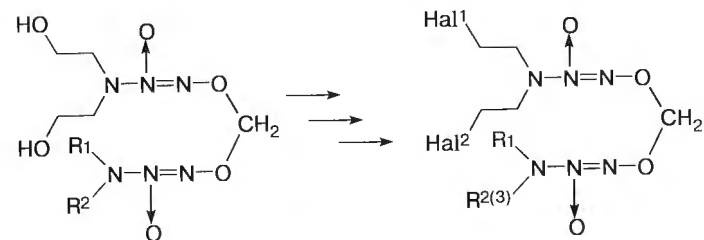
2,6-Дизамещенные 4-азидопиримидины: синтез и исследование кинетики и термодинамики азидо-тетразольной перегруппировки методами спектроскопии ЯМР



Н. В. Плешкова, Е. Б. Николаенкова, В. П. Кривопапов, В. И. Маматюк

Изв. АН. Сер. хим., 2017, № 11, 2095

Синтез 3,3-бис(2-галогенэтильных) и 3,3,3'-трис(2-галогенэтильных) производных 1,1'-[метиленис(окси)]бис(триаз-1-ен-2-оксидов)

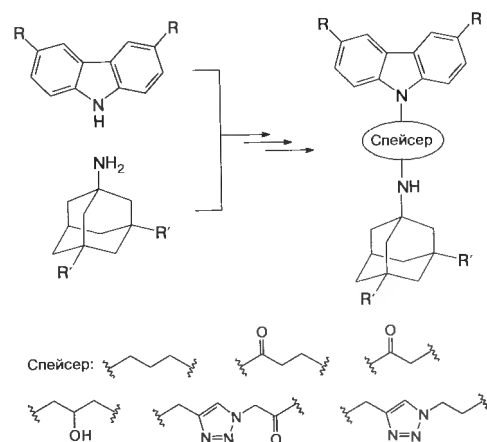


$R^1 = \text{Me}, \text{CH}_2\text{CH}_2\text{OH}, R^2 = \text{Me}; R^1 + R^2 = \text{CH}_2\text{CH}_2\text{OCH}_2\text{CH}_2, (\text{CH}_2)_5;$
 $R^3 = \text{CH}_2\text{CH}_2\text{X} (\text{X} = \text{Cl}, \text{Br}, \text{I}); \text{Hal}^1, \text{Hal}^2 = \text{Cl}, \text{Br}, \text{I}$

Т. В. Терникова, Г. В. Похвиснева, Г. А. Смирнов, П. Б. Гордеев, С. В. Никитин, О. А. Лукьянов

Изв. АН. Сер. хим., 2017, № 11, 2103

Синтетические подходы к конъюгированию аминоадамантинов с карбазолами



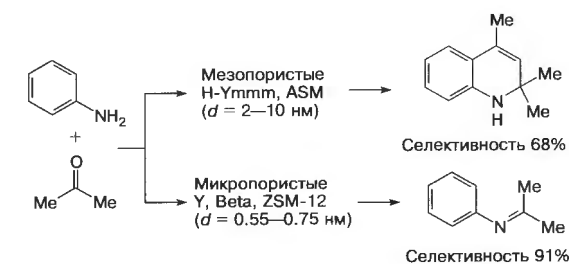
В. Б. Соколов, А. Ю. Аксиненко, Т. А. Епишина, Т. В. Горева, С. О. Бачурин

Изв. АН. Сер. хим., 2017, № 11, 2110

Алюмосиликаты с различной нористой структурой в синтезе 2,2,4-триметил-1,2-дигидрохинолина и *N*-фенил-2-пропанимина

Н. Г. Григорьева, Н. А. Филиппова, А. Р. Гатаулин, С. В. Бубеннов, М. Р. Аглиуллин, Б. И. Кутепов, Нама Нарендер

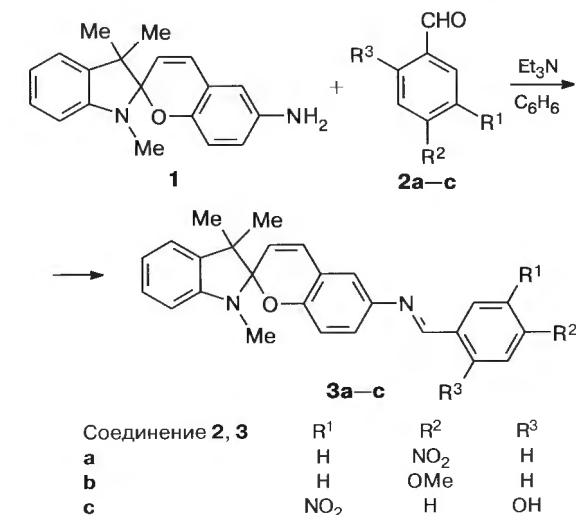
Изв. АН. Сер. хим., 2017, № 11, 2115



Новые индолиновые спиририпы, содержащие азометиновый фрагмент

О. А. Комиссарова, Б. С. Лукьянов, М. Б. Лукьянова, И. В. Ожогин, Е. Л. Муханов, М. С. Коробов, И. А. Ростовцева, В. И. Минкин

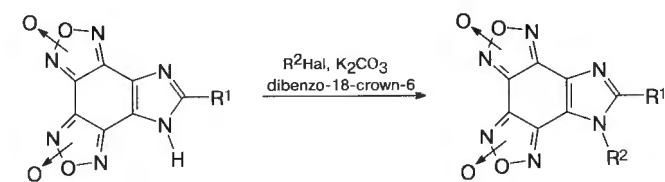
Изв. АН. Сер. хим., 2017, № 11, 2122



Синтез *N*-замещенных имидазо[4,5-*e*]бензо-[1,2-*c*;3,4-*c'*]дифуроксанов

В. Л. Королев, В. В. Топоров, Н. Л. Меркулова, В. М. Даниленко, В. П. Ившин, Т. С. Пивина

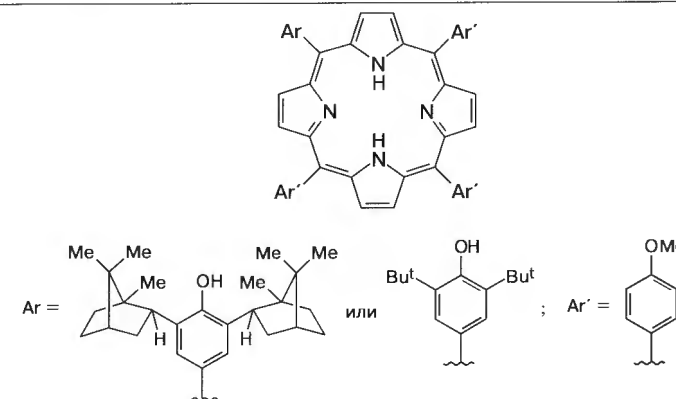
Изв. АН. Сер. хим., 2017, № 11, 2126



Несимметрично замещенные тетра(мезо-арил)-порфирины с 2,6-диизоборнилфенольными и 2,6-ди-*трет*-бутилфенольными фрагментами на периферии макроцикла

Д. В. Белых, Т. К. Рочева, Е. В. Буравлев, И. Ю. Чукичева, А. В. Кучин

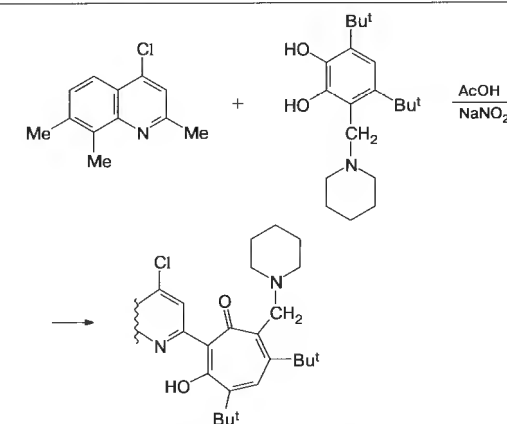
Изв. АН. Сер. хим., 2017, № 11, 2131



Синтез и строение 4,6-ди(*трет*-бутил)-2-(7,8-диметил-4-хлорхинолин-2-ил)-7-(пиперидин-1-илметил)-1,3-тренолона

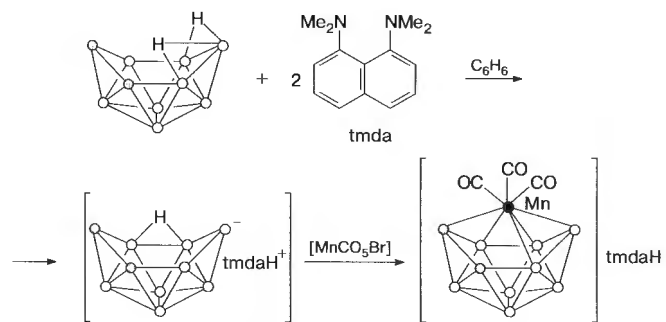
В. В. Ткачев, Ю. А. Саяпин, И. В. Дороган, А. А. Колодина, Е. А. Гусаков, В. Н. Комиссаров, Г. В. Шилов, С. М. Алдошин, В. И. Минкин

Изв. АН. Сер. хим., 2017, № 11, 2136



Синтез и молекулярная структура трикарбонильного комплекса марганца на основе 5,6-нидо- $C_2V_8H_{12}$ карборана

А. И. Лазарева, И. В. Писарева,
Е. В. Балагурова, А. Ф. Смольяков,
Ф. М. Долгушин, И. А. Годовиков,
И. Т. Чижевский



Изв. АН. Сер. хим., 2017, № 11, 2142

Кинетические характеристики взаимодействия ресвератрола с пероксильными радикалами и природными тиолами в водной среде

К. М. Зинатуллина, Н. П. Храмева,
О. Т. Касаикина, Б. И. Шапиро,
В. А. Кузьмин



Изв. АН. Сер. хим., 2017, № 11, 2145

Криохимический синтез и антибактериальная активность гибридных наноконкомпозитов диоксида с наночастицами Ag и Cu, включенных в биополимерные криоструктуры

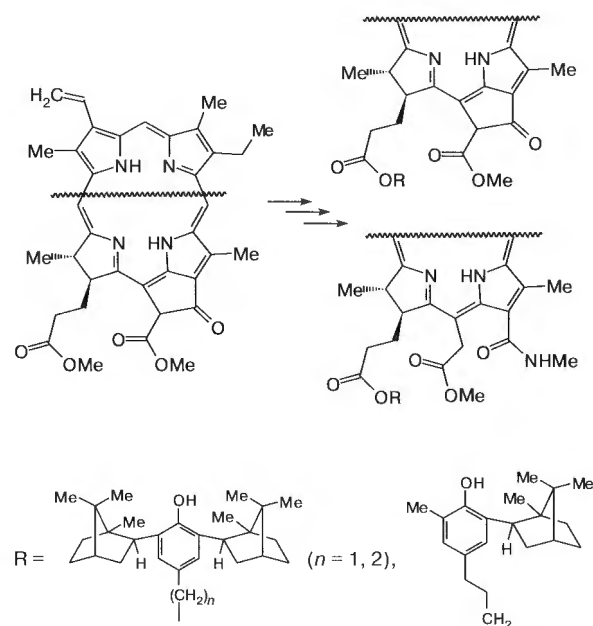
О. И. Верная, В. П. Шабатин,
А. В. Нуждина, Н. Д. Звукова,
Д. И. Хватов, А. М. Семенов,
В. И. Лозинский, Т. И. Шабатина,
М. Я. Мельников



Изв. АН. Сер. хим., 2017, № 11, 2152

Конъюгаты природных хлоринов и изоборнил-фенолов с различной длиной спейсера между хлориновым и терненофенольным фрагментами: синтез и антиоксидантная активность

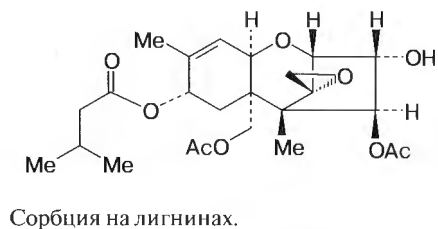
И. С. Худяева, Д. В. Белых,
О. Г. Шевченко, М. А. Максимова,
Л. Ф. Зайнуллина, Ю. В. Вахитова,
О. В. Шукина, Е. В. Буравлев,
И. Ю. Чукичева, А. В. Кучин



Изв. АН. Сер. хим., 2017, № 11, 2157

Структурно-химические характеристики лигнинов и их сорбционная способность в отношении 4,15-диацетокси-8-(3-метилбутирокси)-12,13-эпокситрихотекен-3-ола

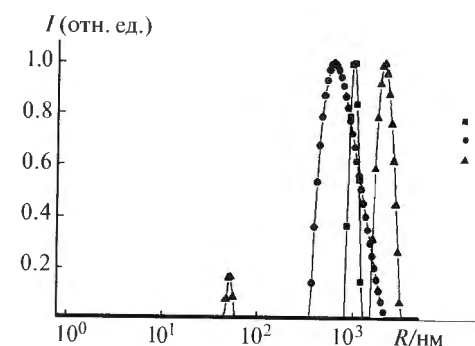
А. В. Канарский, А. П. Карманов,
З. А. Канарская, Л. С. Кочева,
Э. И. Семенов, Н. И. Богданович,
К. А. Романенко, А. Р. Ивлева



Изв. АН. Сер. хим., 2017, № 11, 2165

Различия в реакционной способности *N*-ацетил- и *N,N*-диацетилсалилхлоридов, вызванные их разной супрамолекулярной организацией в растворе

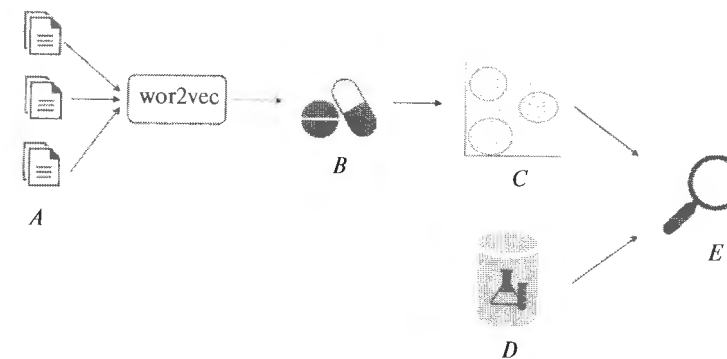
А. В. Орлова, Т. В. Лаптинская,
Н. В. Бовин, Л. О. Кононов



Изв. АН. Сер. хим., 2017, № 11, 2173

Идентификация лекарственных средств со схожим терапевтическим действием на основе семантического анализа текстов

Е. В. Тутубалина, З. Ш. Мифтахутдинов,
Р. И. Нугманов, Т. И. Маджидов,
С. И. Николенко, И. С. Алимова,
А. Э. Тропша



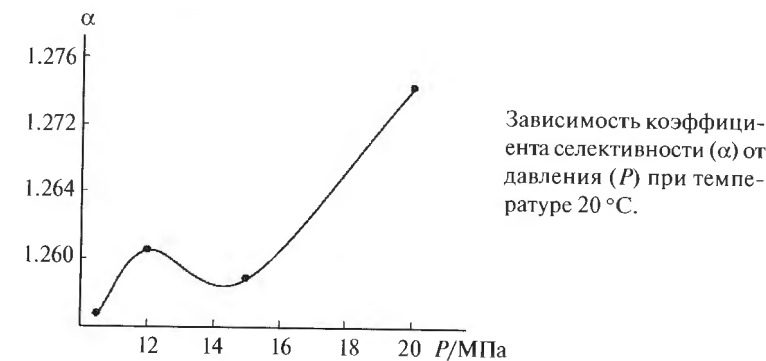
A — коллекция текстов, B — названия лекарств, C — кластеризация, D — база знаний, E — анализ.

Изв. АН. Сер. хим., 2017, № 11, 2180

Краткие сообщения

Пример немонотонного влияния давления на селективность разделения энантиомеров в сверхкритической флюидной хроматографии

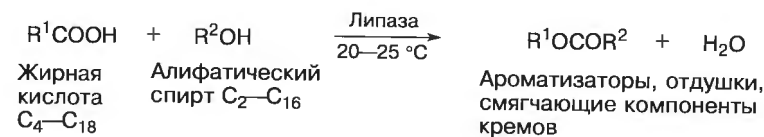
О. И. Покровский, М. О. Костенко,
В. В. Лунин



Изв. АН. Сер. хим., 2017, № 11, 2190

Ферментативная этерификация насыщенных жирных кислот алифатическими спиртами как альтернативный способ низкотемпературного синтеза сложных эфиров

Л. В. Перминова, Г. А. Коваленко,
Н. В. Чуканов, Ю. В. Патрушев



Изв. АН. Сер. хим., 2017, № 11, 2194